

УДК 544.182.3

AB INITIO РАСЧЕТ ОПТИЧЕСКИХ СВОЙСТВ НОВЫХ НЕЙТРАЛЬНЫХ ГЕКСАКООРДИНАЦИОННЫХ КОМПЛЕКСОВ $\text{Si}(\text{bzimpy})_2$

Бимуханов Асхат Нурлыбекович
bimukhanov.92@gmail.com

Докторант ЕНУ им. Л.Н. Гумилева, Нур-Султан, Казахстан
Научный руководитель – Алдонгаров А.А.

Введение

Гексакоординационные комплексы $\text{Si}(\text{ligand})_2$ представляют собой многообещающий новый класс хелатных соединений металлов для органических электронных устройств. Богатое синтетическое разнообразие дианионных клешневидных лигандов, должно обеспечить ряд желательных и подходящих комплексов для слоев переноса электронов и электролюминесценции[1].

В последние годы наблюдается значительное увеличение структурного разнообразия стабильных гексакоординатных кремниевых комплексов, особенно содержащих хелатирующие лиганды N или O, а бипиридиновый лиганд является особенно хорошо известным и важным лигандом для стабилизации гексакоординатных кремниевых комплексов[2].

Также в свою очередь наблюдается постоянный интерес к разработке новых материалов для органических электронных устройств, и особенно существует потребность в новых низкомолекулярных, химически и электрохимически стойких материалах. Центр четырехвалентного кремния дает возможность исследовать конструкцию $\text{Si}(\text{ligand})_2$, состоящую из двух дианионных клешневидных лигандов. Такая конструкция может обеспечить большую стабильность, низкий молекулярный вес, низкие дипольные моменты и возможность настраивать окислительно-восстановительные и оптические свойства посредством синтетического дизайна клешневидного лиганда[3].

В данной работе объектом исследования являются нейтральные гексакоординационные кремниевые комплексы, содержащие два 2,6-Бис (2-бензимидазолил) пиридин (bzimpy) лиганды.

Целью данной работы является рассмотрение оптических свойств, на основе метода функционала плотности, новых нейтральных гексакоординационных кремниевых комплексов $\text{Si}(\text{bzimpy})_2$.

Методы расчетов

При реализации квантово-химического исследования гексакоординационных кремниевых комплексов $\text{Si}(\text{bzimpy})_2$ использовался метод функционала плотности DFT реализуемый в программном пакете Gaussian09[4]. На сегодняшний день этот метод включает широкий набор различных функционалов. Для расчета свойств объектов был использован широко используемый функционал B3LYP [5-7]. Все расчеты проводились с использованием вычислительных ресурсов Национальной научной лаборатории коллективного пользования информационных и космических технологий (ННЛ КП ИКТ) при Казахском национальном исследовательском техническом университете имени К.И. Сатпаева[8].

Оптимизация структур

Для проведения расчетов рассмотрены следующие модельные кластеры: «**а**» $\text{Si}(2,6\text{-бис-2-бензимидазолилпиридин})_2$, «**б**» $\text{Si}(2,6\text{-бис-бензимидазолил-4-метоксипиридин})$, «**в**» $\text{Si}(\text{метил-4-бензимидазолил})_2$, «**г**» $\text{Si}(2,6\text{-бис-диметилбензимидазолил-4-метоксипиридин})$ (рисунок 1), структуры которых были построены по известным экспериментальным данным [9]. В дальнейшем была выполнена оптимизация данных структур с использованием базисного набора: 6-31G[10-18].

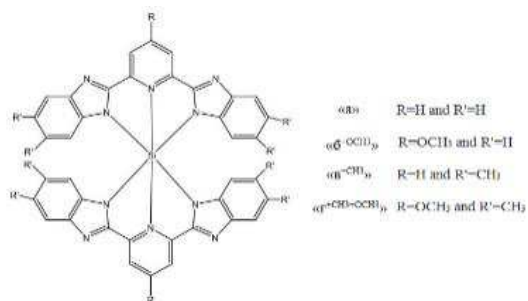


Рисунок 1 – Рассматриваемые структуры кремниевых комплексов в данной работе.

На рисунке 2 представлены окончательно полученные структуры после полной оптимизации рассматриваемых комплексов. В таблице 1 представлены геометрические параметры оптимизированной структуры кластеров.

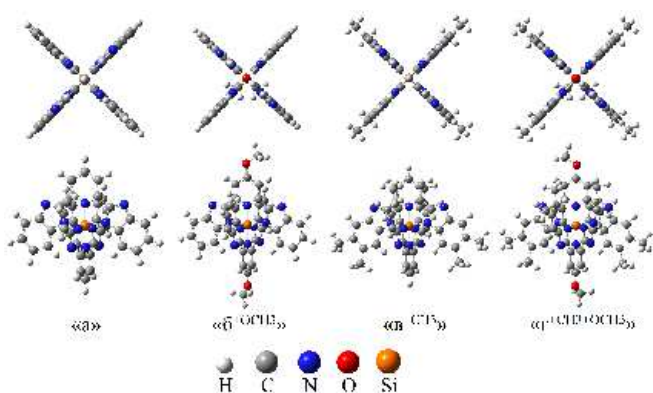
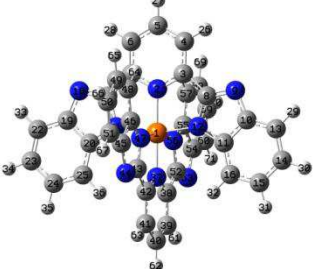
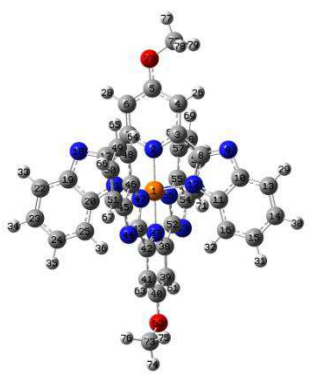
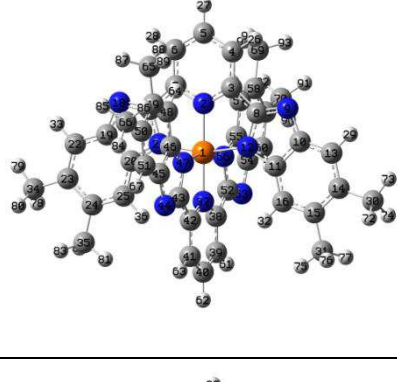
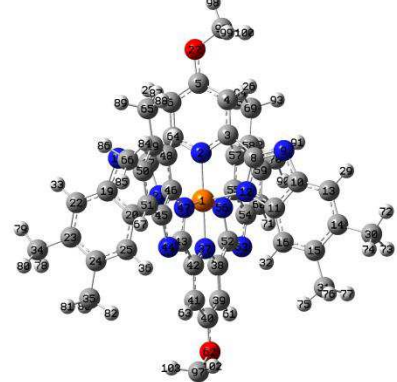


Рисунок 2 – Оптимизированные структуры кластеров.

Таблица 1

Данные кристаллической структуры комплексов $\text{Si}(\text{bzimpy})_2$

Соединение	2D-вид структура	Молекулярная формула	Длина связи (\AA)	Валентный угол (градус)
Si(2,6-бис-2-бензимидазоли лпиридин) ₂		$\text{C}_{38}\text{H}_{22}\text{N}_{10}\text{Si}$	Si-N ² : 1.898 Si-N ¹² : 1.902 N ² -C ³ : 1.353 N ⁹ -C ⁸ : 1.319 N ¹² -C ⁸ : 1.380 N ⁹ -C ¹⁰ : 1.376 N ¹² -C ¹¹ : 1.381 C ³ -C ⁴ : 1.394 C ⁴ -C ⁵ : 1.398 C ³ -C ⁸ : 1.444 C ¹⁰ -C ¹¹ : 1.431 C ¹⁰ -C ¹³ : 1.404 C ¹³ -C ¹⁴ : 1.385 C ¹⁴ -C ¹⁵ : 1.413 C ⁵ -H ²⁷ : 1.086	N ² -Si ¹ -N ³⁷ : 179.999 N ² -Si ¹ -N ¹² : 81.754 N ¹² -Si ¹ -N ³⁷ : 98.246 Si ¹ -N ² -C ³ : 118.474 Si ¹ -N ¹² -C ⁸ : 114.920 N ² -C ³ -C ⁴ : 119.710 C ³ -C ⁴ -C ⁵ : 118.052 C ⁴ -C ⁵ -C ⁶ : 121.423 N ¹² -C ⁸ -N ⁹ : 116.599 C ⁸ -N ⁹ -C ¹⁰ : 103.015 C ⁸ -N ¹² -C ¹¹ : 103.758 N ¹² -C ¹¹ -C ¹⁰ : 106.214 C ¹⁶ -C ¹¹ -C ¹⁰ : 120.740 C ⁴ -C ⁵ -H ²⁷ : 119.289 C ³ -C ⁴ -H ²⁶ : 119.453
Si(2,6-бис-бензимидазоли л-4-метоксипирид ин)		$\text{C}_{40}\text{H}_{26}\text{N}_{10}\text{O}_2\text{Si}$	Si-N ² : 1.890 Si-N ¹² : 1.908 N ² -C ³ : 1.351 N ⁹ -C ⁸ : 1.319 N ¹² -C ⁸ : 1.379 N ⁹ -C ¹⁰ : 1.376 N ¹² -C ¹¹ : 1.380 C ³ -C ⁴ : 1.389 C ⁴ -C ⁵ : 1.408 C ³ -C ⁸ : 1.446 C ¹⁰ -C ¹¹ : 1.431 C ¹⁰ -C ¹³ : 1.404 C ¹³ -C ¹⁴ : 1.385 C ¹⁴ -C ¹⁵ : 1.413 C ¹³ -H ²⁹ : 1.085 C ⁵ -O ²⁷ : 1.342 O ²⁷ -C ⁷² : 1.430 C ⁷² -H ⁷⁷ : 1.090	N ² -Si ¹ -N ³⁷ : 179.635 N ² -Si ¹ -N ¹² : 81.633 N ¹² -Si ¹ -N ³⁷ : 98.095 Si ¹ -N ² -C ³ : 118.914 Si ¹ -N ¹² -C ⁸ : 114.850 N ² -C ³ -C ⁴ : 120.728 C ³ -C ⁴ -C ⁵ : 117.866 C ⁴ -C ⁵ -C ⁶ : 120.570 N ¹² -C ⁸ -N ⁹ : 116.689 C ⁸ -N ⁹ -C ¹⁰ : 102.940 C ⁸ -N ¹² -C ¹¹ : 103.745 N ¹² -C ¹¹ -C ¹⁰ : 106.255 C ¹⁶ -C ¹¹ -C ¹⁰ : 120.773 C ¹⁴ -C ¹³ -H ²⁹ : 121.917 C ³ -C ⁴ -H ²⁶ : 118.784 C ⁴ -C ⁵ -O ²⁷ : 124.027 C ⁵ -O ²⁷ -C ⁷² : 119.177 O ²⁷ -C ⁷² -H ⁷⁷ : 105.412 O ²⁷ -C ⁷² -H ⁷⁹ : 111.020
Si(метил-4-бензимидазоли л) ₂		$\text{C}_{46}\text{H}_{38}\text{N}_{10}\text{Si}$	Si-N ² : 1.898 Si-N ¹² : 1.902 N ² -C ³ : 1.354 N ⁹ -C ⁸ : 1.320 N ¹² -C ⁸ : 1.381 N ⁹ -C ¹⁰ : 1.375 N ¹² -C ¹¹ : 1.380 C ³ -C ⁴ : 1.395 C ⁴ -C ⁵ : 1.398 C ³ -C ⁸ : 1.443 C ¹⁰ -C ¹¹ : 1.426 C ¹⁰ -C ¹³ : 1.404 C ¹³ -C ¹⁴ : 1.387 C ¹⁴ -C ¹⁵ : 1.432 C ⁵ -H ²⁷ : 1.086 C ¹⁴ -C ³⁰ : 1.511 C ¹⁵ -C ³¹ : 1.510 C ³⁰ -H ⁷³ : 1.094 C ³¹ -H ⁷⁷ : 1.097	N ² -Si ¹ -N ³⁷ : 179.997 N ² -Si ¹ -N ¹² : 81.751 N ¹² -Si ¹ -N ³⁷ : 98.247 Si ¹ -N ² -C ³ : 118.457 Si ¹ -N ¹² -C ⁸ : 114.917 N ² -C ³ -C ⁴ : 119.669 C ³ -C ⁴ -C ⁵ : 118.057 C ⁴ -C ⁵ -C ⁶ : 121.460 N ¹² -C ⁸ -N ⁹ : 116.488 C ⁸ -N ⁹ -C ¹⁰ : 102.933 C ⁸ -N ¹² -C ¹¹ : 103.694 N ¹² -C ¹¹ -C ¹⁰ : 106.337 C ¹⁶ -C ¹¹ -C ¹⁰ : 120.359 C ¹⁶ -C ¹¹ -C ¹⁰ : 119.270 C ⁴ -C ⁵ -H ²⁷ : 119.441 C ⁵ -C ⁴ -H ²⁶ : 119.271 C ¹⁶ -C ¹⁵ -C ³¹ : 119.854 C ¹³ -C ¹⁴ -C ³⁰ : 110.842 C ¹⁴ -C ³⁰ -H ⁷³ : 111.800
Si(2,6-бис-диметилбензи мидазолил-4-метоксипирид ин)		$\text{C}_{48}\text{H}_{42}\text{N}_{10}\text{O}_2\text{Si}$	Si-N ² : 1.891 Si-N ¹² : 1.907 N ² -C ³ : 1.351 N ⁹ -C ⁸ : 1.320 N ¹² -C ⁸ : 1.380 N ⁹ -C ¹⁰ : 1.376 N ¹² -C ¹¹ : 1.380 C ³ -C ⁴ : 1.390 C ⁴ -C ⁵ : 1.407 C ³ -C ⁸ : 1.444 C ¹⁰ -C ¹¹ : 1.426 C ¹⁰ -C ¹³ : 1.403 C ¹³ -C ¹⁴ : 1.387 C ¹⁴ -C ¹⁵ : 1.432 C ¹⁴ -C ³⁰ : 1.511 C ¹⁵ -C ³¹ : 1.510 C ³⁰ -H ⁷² : 1.094 C ³¹ -H ⁷⁷ : 1.097 C ⁵ -O ²⁷ : 1.343 O ²⁷ -C ⁹⁶ : 1.429 C ⁹⁶ -H ⁹⁸ : 1.090	N ² -Si ¹ -N ³⁷ : 179.647 N ² -Si ¹ -N ¹² : 81.606 N ¹² -Si ¹ -N ³⁷ : 98.144 Si ¹ -N ² -C ³ : 118.898 Si ¹ -N ¹² -C ⁸ : 114.854 N ² -C ³ -C ⁴ : 120.687 C ³ -C ⁴ -C ⁵ : 117.860 C ⁴ -C ⁵ -C ⁶ : 120.620 N ¹² -C ⁸ -N ⁹ : 116.590 C ⁸ -N ⁹ -C ¹⁰ : 102.857 C ⁸ -N ¹² -C ¹¹ : 103.664 N ¹² -C ¹¹ -C ¹⁰ : 106.375 C ¹⁶ -C ¹¹ -C ¹⁰ : 120.391 C ³ -C ⁴ -H ²⁶ : 118.774 C ¹⁴ -C ³⁰ -H ⁷² : 110.834 C ¹⁵ -C ³¹ -H ⁷⁶ : 111.790 C ⁴ -C ⁵ -O ²⁷ : 123.997 C ⁵ -O ²⁷ -C ⁹⁶ : 119.098 O ²⁷ -C ⁹⁶ -H ⁹⁸ : 105.448 O ²⁷ -C ⁹⁶ -H ⁹⁹ : 111.082

AB INITIO расчет электронного спектра поглощения

Электронный спектр поглощения оптимизированных структур рассматриваемых кластеров рассчитывался времязависимой теорией функционала плотности TD DFT[19-21]. В таблице 2 представлены интенсивные переходы рассчитанных спектров поглощения

Таблица 2

Интенсивные переходы рассчитанного спектра поглощения рассматриваемых комплексов

Соединение	Номер перехода	(λ) Длина волны, нм	(f) Сила осциллятора	МО переход
Si(2,6-бис-2-бензимидазолилпиридин) ₂	5	437	0.2510	HOMO-2 → LUMO
	6	437	0.2510	HOMO-2 → LUMO+1
	23	353	0.1300	HOMO-5 → LUMO+2
	24	353	0.1300	HOMO-6 → LUMO+2
Si(2,6-бис-бензимидазолил-4-метоксилипирдин)	5	401	0.1111	HOMO-2 → LUMO
	6	400	0.1507	HOMO-2 → LUMO+1
	23	351	0.1008	HOMO-5 → LUMO+2
	24	350	0.1027	HOMO-6 → LUMO+2
Si(метил-4-бензимидазолил)2	5	454	0.2167	HOMO-2 → LUMO
	6	454	0.2167	HOMO-2 → LUMO+1
	23	367	0.1214	HOMO-5 → LUMO+2
	24	367	0.1214	HOMO-6 → LUMO+2
	25	353	0.1205	HOMO-3 → LUMO+3
	26	353	0.1205	HOMO-4 → LUMO+3
	28	347	0.1419	HOMO-5 → LUMO+3
	29	347	0.1418	HOMO-6 → LUMO+3
	31	340	0.4885	HOMO → LUMO+3
	32	340	0.4885	HOMO → LUMO+3
Si(2,6-бис-диметилбензимидазолил-4-метоксилипирдин)	1	431	0.1037	HOMO → LUMO
	2	431	0.1036	HOMO → LUMO+1
	5	415	0.1438	HOMO-2 → LUMO
	6	414	0.1500	HOMO-2 → LUMO+1
	25	351	0.1226	HOMO-3 → LUMO+3
	26	351	0.1378	HOMO-4 → LUMO+3
	28	345	0.1410	HOMO-5 → LUMO+3

На рисунке 3 представлены рассчитанные электронные спектры поглощения кремниевых комплексов, реконструированный программным пакетом GaussView 5.0 с полушириной на полувысоте 0,3 эВ.

Рассматривая спектры поглощения 4 типов («а», «б^{+OCH₃}», «в^{+CH₃}», «г^{+CH₃+OCH₃}») структур, можно выделить наиболее выраженные наблюдаемые пики, которые приходятся на область длин волн в пределах 330-350 нм. Изначально построенная структура «а», имеет самый меньший по интенсивности пик в районе 330 нм. Дальнейшее увеличение атомов с помощью добавления группы OCH₃ к предыдущей структуре «а», приводит к увеличению интенсивности поглощения во второй структуре «б^{+OCH₃}». В следующем рассматриваемом кластере «в^{+CH₃}» добавление группы CH₃ к структуре «а», приводит к смещению спектра в сторону длинноволновой области. В последнем кластере «г^{+CH₃+OCH₃}» полученный путем добавления групп CH₃ и OCH₃ к структуре «а», явно наблюдается самый высокий пик по интенсивности поглощения относительно других.

Для комплексов «а» и «в^{+CH₃}» отметим появление пиков поглощения в длинноволновой области спектра 435-455 нм, который отсутствует у остальных 2 структур.

Прослеживается тенденция повышения интенсивности поглощения с увеличением количества атомов в рассматриваемых кластерах.

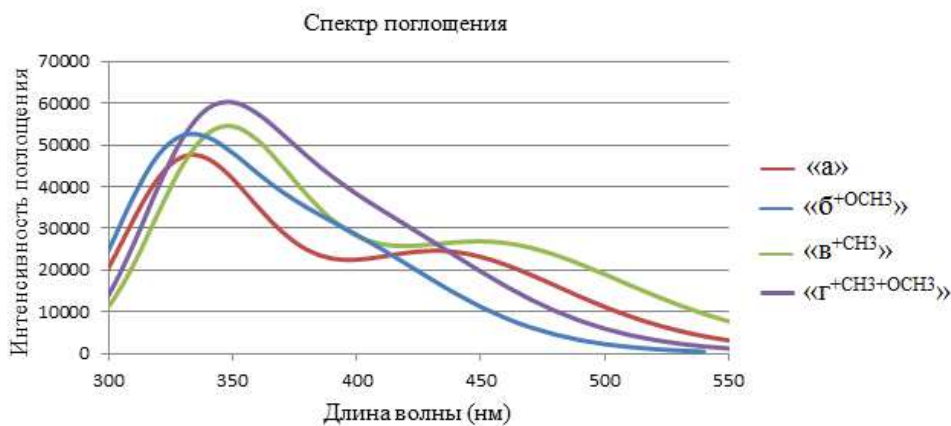


Рисунок 3 – Рассчитанные электронные спектры поглощения кластеров.

На рисунке 4 представлены расположение уровней граничных молекулярных орбиталей (МО). Рассматривая данный рисунок можно заметить, что уровни HOMO при последовательном добавлении заместителей в ряду «а», «б+OCH₃», «в+CH₃», «г+CH₃+OCH₃» повышаются по энергии. Уровни LUMO повышаются для соединений «б+OCH₃» и «г+CH₃+OCH₃», в случае «в+CH₃» почти такая же как и для «а». Ознакомившись с визуализированными молекулярными орбиталями кластеров всех четырех типов кремния, можно сказать, что все они имеют природу P-орбиталей.

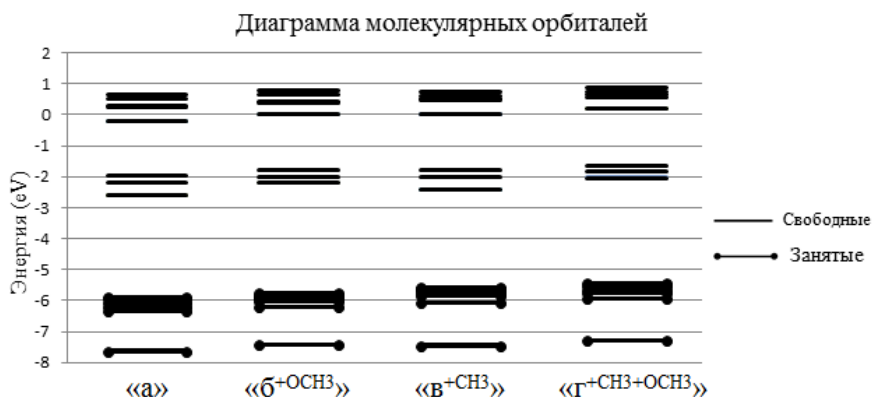


Рисунок 4 - Диаграмма граничных молекулярных орбиталей рассматриваемых типов кремниевых кластеров.

Список использованных источников

1. Kocherga, M., Castaneda, J., Walter, M. G., Zhang, Y., Saleh, N.-A., Wang, L., Schmedake, T. A. (2018). Si(bzimpy)₂ – A Hexacoordinate Silicon Pincer Complex for Electron Transport and Electroluminescence. *Chemical Communications*.
2. (a) C. Chuit, R.J.P. Corriu, C. Reye, J.C. Young, *Chem. Rev.* 93 (4) (1993) 1371; (b) J.Y. Corey, *Chem. Rev.* 111 (2) (2011) 863; (c) M. Benaglia, S. Guizzetti, L. Pignataro, *Coord. Chem. Rev.* 252 (5–7) (2008) 492; (d) E.P.A. Couzijn, J.C. Slootweg, A.W. Ehlers, K. Lammertsma, Z. Anorg. Allg. Chem. 635 (9–10) (2009) 1273; (e) R.R. Holmes, *Chem. Rev.* 96 (3) (1996) 927; (f) D. Kost, I. Kalikhman, *Acc. Chem. Res.* 42 (2) (2009) 303.
3. Suthar, B.; Aldongarov, A.; Irgibaeva, I. S.; Moazzen, M.; Donovan-Merkert, B. T.; Merkert, J. W.; Schmedake, T. A., Electrochemical and spectral properties of hexacoordinate polypyridyl silicon complexes. *Polyhedron* (2012), 31 (1), 754-758.
4. Frisch M. J., Trucks G. W., Schlegel H. B. Gaussian 09, Revision C.01 (Gaussian, Inc., Wallingford CT, 2010).

5. Becke A. D. *J. Chem. Phys.* 98 (1993) 5648.
6. Lee C., Yang W., Parr R. G. *Phys. Rev. B* 37 (1988) 785.
7. Stephens P. J., Devlin F. J., Chabalowski C. F., Frisch M. J. *J. Phys. Chem.* 98 (1994) 11623.
8. Ditchfield R., Hehre W. J., and Pople J. A., "Self-Consistent Molecular Orbital Methods.
9. Extended Gaussian-type basis for molecular-orbital studies of organic molecules," *J. Chem. Phys.*, 54 (1971) 724.
9. ANDREWQ UICK and DAVID J. WILLIAMSC.a n. *J. Chem.* 54, 2482 (1976).
10. Hehre W. J., Ditchfield R, and Pople J. A., "Self-Consistent Molecular Orbital Methods.
12. Further extensions of Gaussian-type basis sets for use in molecular-orbital studies of organic-molecules," *J. Chem. Phys.*, 56 (1972) 2257.
11. Hariharan P. C and Pople J. A., "Influence of polarization functions on molecular-orbital hydrogenation energies," *Theor. Chem. Acc.*, 28 (1973) 213-22.
12. Hariharan P. C and Pople J. A., "Accuracy of AH equilibrium geometries by single determinant molecular-orbital theory," *Mol. Phys.*, 27 (1974) 209-14.
13. Gordon M. S., "The isomers of silacyclop propane," *Chem. Phys. Lett.*, 76 (1980) 163-68.
14. Franci M. M., Pietro W. J., Hehre W. J., Binkley J. S., DeFrees D.J., Pople J. A, and Gordon M. S., "Self-Consistent Molecular Orbital Methods. 23. A polarization-type basis set for 2nd-row elements," *J. Chem. Phys.*, 77 (1982) 3654-65.
15. Binning Jr R. C.. and. Curtiss L. A, "Compact contracted basis-sets for 3rd-row atoms - GA-KR," *J. Comp. Chem.*, 11 (1990) 1206-16.
16. Blaudeau J.-P., McGrath M. P, Curtiss L. A., and. Radom L, "Extension of Gaussian-2 (G2) theory to molecules containing third-row atoms K and Ca," *J. Chem. Phys.*, 107 (1997) 5016-21.
17. Rassolov V. A., Pople J. ARatner., M. A., and. Windus T. L, "6-31G* basis set for atoms K through Zn," *J. Chem. Phys.*, 109 (1998) 1223-29.
18. Rassolov V. A., Ratner M. APople., J. A., Redfern P. C, and. Curtiss L. A, "6-31G* Basis Set for Third-Row Atoms," *J. Comp. Chem.*, 22 (2001) 976-84.
19. Bauernschmitt R., Ahlrichs R. Treatment of electronic excitations within the adiabatic approximation of time dependent density functional theory // *Chem. Phys. Lett.* 1996. Vol. 256. P. 454-464.
20. Stratmann R.E., Scuseria G.E., Frisch M.J. Theoretical Study on Reactions of Triplet Thioxanthone with Indole // *J. Chem. Phys.* 1998. Vol. 109. P. 8218-8224.
21. Furche F., Ahlrichs R. An improved method for density functional calculations of the frequency-dependent optical rotation // *J. Chem. Phys.* 2002. Vol. 117. P. 7433-7447.